

УДК 524.527

Модели темных облаков и глобул

Л. Н. Аршуткин, И. Г. Колесник

Проведены численные расчеты изотермических моделей глобул, поддерживаемых в равновесии турбулентным давлением. Скорость турбулентности изменяется в моделях по степенному закону $v_t \propto r^\nu$. Основные характеристики рассчитанных моделей согласуются с параметрами наблюдаемых глобул. Показано, что величина внешнего давления в моделях должна находиться в пределах 10^4 — 10^5 К·см $^{-3}$. Предложенная модель может быть использована для исследования облаков с массами, не превышающими примерно $100 M_\odot$. С наблюдениями лучше согласуются модели, в которых показатель степени ν близок к 0.5.

MODELS OF DARK CLOUDS AND GLOBULES, by Arshutkin L. N., Kolesnik I. G.— Isothermal models of dark clouds supported in equilibrium by turbulent pressure have been constructed. A power-law relation $v_t \propto r^\nu$ is proposed. Global parameters of the models agree well with the observations. For $\nu=0.5$ the models agree with observations best of all. It is shown that the external pressure for the models is to be within 10^4 — 10^5 K·cm $^{-3}$. This model is valid for clouds with mass up to $\approx 100 M_\odot$.

В последние годы значительно расширились исследования темных облаков и глобул с высоким пространственным разрешением. Наблюдения эмиссии многочисленных молекулярных линий, ИК- и оптические исследования в непрерывном спектре позволяют получить достаточно хорошее представление об их внутренней структуре. Сравнительно простые геометрические формы и отсутствие мощных источников внутренней энергии делают их удобными объектами для сравнения с теоретическими моделями. Эти компактные (размерами не более 5 пк) молекулярные облака имеют небольшие массы ($\leq 10^3 M_\odot$) и холодные (≈ 10 К) плотные ($\approx 10^4$ — 10^5 см $^{-3}$) ядра.

Глобулы Бока, как правило, связаны с группировками молодых звезд. В отличие от более массивных молекулярных облаков в этих объектах, за редкими исключениями, не обнаружены такие свидетельства звездообразования, как мощные ИК-источники, компактные зоны Н II. Выдвинутая ранее идея о том, что они находятся в промежуточном состоянии между облаком и протозвездой, представляется теперь сомнительной.

Анализ наблюдательных данных позволяет предположить, что глобулы — это остатки разрушенных звездообразованием массивных молекулярных облаков [11]. Предполагается, что предшественниками глобул были плотные сгустки в массивном облаке, которое в процессе эволюции разрушилось образующимися внутри него ОВ звездами. Выжившие в результате такого процесса сгустки выделяются в виде небольших плотных молекулярных облаков. Эти сгустки могут сколлапсировать в массивную звезду, либо в их оболочках может быть инициировано образование звезд малых масс, но часть их может оставаться в квазиравновесном состоянии.

Имеющийся разносторонний наблюдательный материал требует интерпретации и анализа прежде всего в свете проблемы образования звезд умеренных масс. Важно выяснить также вопрос о происхождении и эволюционном состоянии глобул. Для решения таких задач необходимы количественные модели, достаточно гибкие по физическим возможностям и в то же время не трудоемкие и не отягощенные большим количеством свободных параметров. В этом направлении имеются теоретические исследования отдельных глобул, выполненные на основе расчетов политропных [5] и гидростатических моделей [4, 13]. Указанные работы показали, что физические характеристики глобул доста-

точно хорошо описываются равновесными моделями. Однако из-за недостатка информации о внутренней структуре, а также в некоторых случаях вследствие упрощенности моделей исследования касались только отдельных параметров глобул.

В данной работе приведены результаты исследования структуры глобул, поддерживающих равновесие турбулентным давлением. Исследование проведено на основе численных расчетов равновесных изотермических турбулентных моделей.

В центральной области глобулы (по крайней мере той, где наблюдается эмиссия линии $J=1-0$ изотопа ^{13}CO) температура газа примерно постоянна и составляет около 10 К. Об этом свидетельствуют многочисленные наблюдательные и теоретические работы. В оболочке температура увеличивается примерно до 50 К, увеличивается также и скорость турбулентных движений по степенной зависимости, близкой к $v_t \propto r^{0.5}$ [6—8]. Следовательно, давление в оболочке обеспечивается в основном турбулентностью. Это позволяет утверждать, что для описания структуры глобул можно с успехом использовать изотермические модели, поддерживающие равновесие турбулентным давлением.

Строение сферического изотермического облака описывается уравнениями

$$\frac{dP}{dr} = -\rho \frac{GM}{r^2}, \quad M = \int_0^r 4\pi r^2 dr \quad (1)$$

с уравнением состояния

$$P = (kT\rho/(\mu m_{\text{H}})) + \rho v_t^2/3. \quad (2)$$

Здесь $T = \text{const}$, v_t изменяется с радиусом r по степенному закону $v_t = c_s(r/r_0)^{\kappa/2}$, где c_s — изотермическая скорость звука в ядре облака.

После замены переменных [2]

$$\rho = \rho_c \exp(-\psi), \quad r = \alpha \xi, \quad (3)$$

где ρ_c — центральная плотность, $\alpha = [kT/(\mu m_{\text{H}} 4\pi G \rho_c)]^{0.5}$, из (1) и (2) получаем систему уравнений в безразмерных величинах

$$\left. \begin{aligned} \frac{d\psi}{d\xi} &= \left[\frac{\varphi}{\xi^2} + \frac{\kappa}{3\xi_0} \left(\frac{\xi}{\xi_0} \right)^{\kappa-1} \right] / \left[1 + \frac{1}{3} \left(\frac{\xi}{\xi_0} \right)^\kappa \right], \\ \frac{d\varphi}{d\xi} &= \xi^2 \exp(-\psi) \end{aligned} \right\}. \quad (4)$$

Безразмерная величина ξ_0 соответствует радиусу r_0 , начиная с которого скорость турбулентности становится сверхзвуковой, и является свободным параметром. Функция φ связана с массой внутри радиуса r соотношением $M = 4\pi \alpha^3 \rho_c \varphi$.

Для построения модели облака массы M , находящегося в среде с внешним давлением $(P)_{ext}$, необходимо задать граничные условия

$$\left. \begin{aligned} M_* &= 4\pi \alpha^3 \rho_c \varphi_* \\ (P)_{ext} &= c_s^2 \left[1 + \frac{1}{3} (\xi_*/\xi_0)^\kappa \right] \rho_c \exp(-\psi) \end{aligned} \right\}. \quad (5)$$

Звездочками обозначены соответствующие величины на поверхности облака. Уравнения, описывающие модель, и методы их решения подробно рассмотрены в работе [1].

Модели рассчитаны для следующих значений параметров: масса — от 1 до $10^3 M_{\odot}$, внешнее давление $(nT)_{ext}$ — в пределах $3 \cdot 10^3$ — $2 \cdot 10^5 \text{ K} \cdot \text{см}^{-3}$, кинетическая температура газа T — от 8 до 18 К (основная часть моделей рассчитана при температуре 10 К). Показатель степени $\kappa = 2$ в зависимости скорости турбулентности от радиуса

$v_t \propto r^\nu$ принимался равным 0.35 и 0.5. Нижняя граница близка к хорошо известной колмогоровской зависимости $v_t \propto r^{1/3}$ для развитой, несжимаемой дозвуковой турбулентности. Верхняя граница определена в результате многочисленных наблюдений межзвездных облаков (см., например, [7, 8]). Безразмерная величина ξ_0 варьировалась в пределах 0.1—10. Рассчитано несколько сотен моделей. В итоге получены следующие результаты.

Анализ параметров рассчитанных моделей показал, что увеличение ξ_0 приводит к уменьшению скорости турбулентности на поверхности

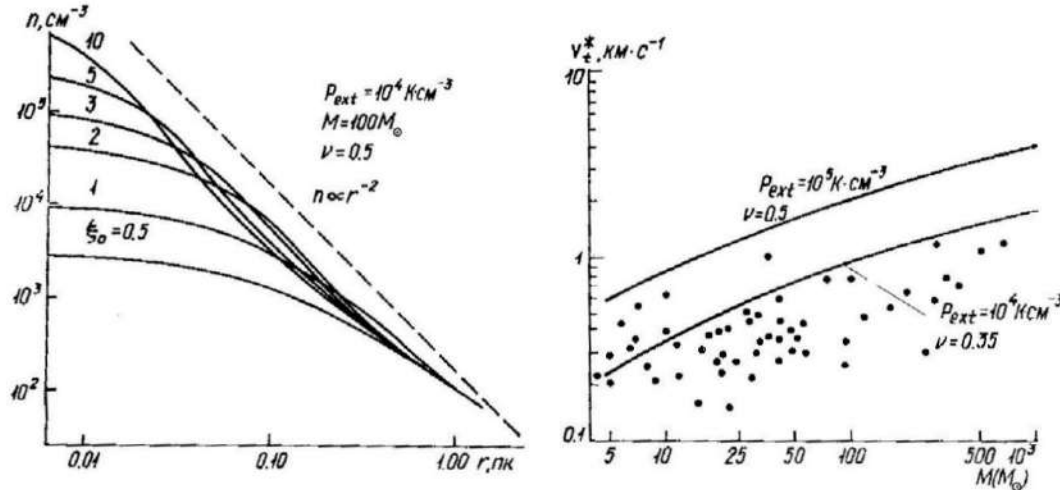


Рис. 1. Распределение плотности по радиусу в модели облака с массой $100 M_\odot$

Рис. 2. Зависимость скорости турбулентности v_t^* от массы облаков. Точки соответствуют наблюдаемым величинам $v_t(m)$ облаков, сплошные кривые — пределам $(nT)_{ext}$ и ν , в которых следует рассчитывать модели

облака v_t^* , однако это происходит только в случае $\xi_0 \leq 1$. При $\xi_0 > 1$ величина v_t^* не изменяется. С другой стороны, с увеличением ξ_0 увеличивается центральная плотность p_c и градиент плотности (рис. 1). Распределение плотности, близкое к степенной зависимости $n \propto r^{-2}$, появляется только в моделях с $\xi_0 \geq 1$. Но при больших ξ_0 модели имеют слишком высокие центральные плотности, заметно превышающие максимальные величины, получаемые из наблюдений $n_c \approx 10^5 \text{ см}^{-3}$ (см., например, [12]).

Если исходить из двух условий (1 — в облаке должна быть зависимость $n \propto r^{-2}$; 2 — центральная плотность не должна превышать $n_c \approx 10^5 \text{ см}^{-3}$), то необходимо рассматривать только модели с $\xi_0 \approx 1-2$.

Рис. 1 иллюстрирует также то, что, хотя распределения плотности в оболочках рассчитанных моделей имеют степенную зависимость, близкую к $n \propto r^{-2}$, в ядре, вблизи центра плотность слабо зависит от радиуса. Такая структура, в которой ядро имеет примерно постоянную плотность, а в оболочке плотность уменьшается пропорционально r^{-2} , хорошо согласуется с выводами, полученными из наблюдений [3].

Теперь определим, в каком диапазоне параметров модели наилучшим образом описывают наблюдаемые характеристики облаков — массу облака, его радиус, среднюю плотность газа в облаке и характерную скорость турбулентности.

Для проведения сравнительных оценок необходимо прежде всего определить характерную или максимальную скорость турбулентности в облаке. В данном случае это будет скорость на краю облака v_t^* . Соответствующая наблюдаемая скорость определяется по ширинам линии $J=1-0$ молекулы ^{12}CO . Для этого использована формула [7]:

$$v_t = [3\Delta\nu^2/(2\alpha^2\pi) - 3kT/(\mu m_H)]^{0.5},$$

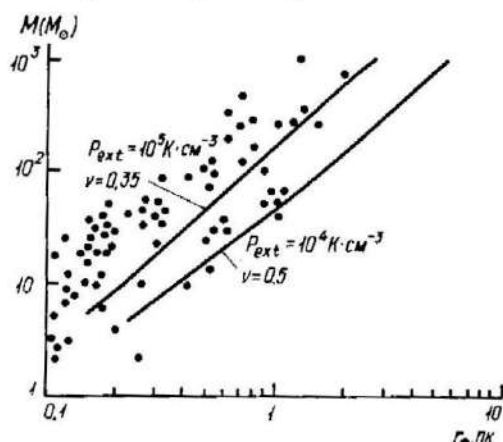
где $\Delta\nu$ — полная ширина линии на половинной интенсивности. Коэффициент α учитывает непрозрачность в линии и близок к единице для

$\tau < 2$. Учитывая, что используемые для определения v_t^* параметры линий СО относятся к границе облака, где оптическая толщина линии мала, примем $\alpha = 1$.

Построим зависимость скорости турбулентности на поверхности v_t^* от массы облака для моделей с различными параметрами $(nT)_{ext}$ и ν и сравним с наблюдаемыми величинами (рис. 2). Наблюдаемые значения скоростей Δv и массы M взяты из работ [7—10]. Видно, что наблюдаемые значения скоростей для больших масс лежат несколько ниже теоретических. Из рис. 2 видно, что модели с $(nT)_{ext} > 10^5 \text{ K}\cdot\text{см}^{-3}$ рассматривать не имеет смысла.

Ограничение снизу на величину внешнего давления определяется другими зависимостями. Рассмотрим зависимость массы облаков от их радиусов.

Рис. 3. Зависимость массы облаков от их радиусов. Обозначения те же, что и на рис. 2



сов (рис. 3). Наблюдаемые точки имеют некоторый разброс около зависимости $M \approx 200 r_*^2$. С наблюдениями хорошо согласуются модели с высоким внешним давлением: $(nT)_{ext} \approx 10^5 \text{ K}\cdot\text{см}^{-3}$. Модели с $(nT)_{ext} < 10^4 \text{ K}\cdot\text{см}^{-3}$ не согласуются с наблюдениями, и их нецелесообразно рассматривать. Из рисунков 2 и 3 следует, что наблюдениям хорошо удовлетворяют модели с массами, не превышающими примерно $100 M_\odot$.

Так как параметр ξ_0 мы не меняем, скорость турбулентности v_t^* однозначно определяется заданием массы M , внешнего давления $(nT)_{ext}$, показателя степени ν . Из рис. 2 выводится зависимость

$$v_t^* \approx 0.062\nu (M^2 (nT)_{ext})^{1/6} \text{ км}\cdot\text{с}^{-1}. \quad (6)$$

Здесь масса выражена в M_\odot , $(nT)_{ext}$ в $\text{K}\cdot\text{см}^{-3}$. Приняв $\nu = 1$ и $(nT)_{ext} = \text{const}$ (например, $(nT)_{ext} = 5 \cdot 10^4 \text{ K}\cdot\text{см}^{-3}$), имеем $v_t^* \approx 0.376 M^{1/3}$. Наблюдения описываются соотношением $v_t^* \approx 0.3M^{0.2}$ [6]. Более крутая зависимость от массы, получаемая из (6), приводит к тому, что облака с большими массами не описываются предлагаемой моделью. Причиной этого может быть то, что в массивных облаках зависимость скорости от радиуса более сложная, чем принятая в данной работе.

Зависимость скорости v_t^* от радиуса облака r_* приведена на рис. 4. Параметры моделей хорошо согласуются с параметрами облаков размерами не более 2 пк. В более крупных облаках турбулентные скорости меньше, чем в рассчитанных моделях. Как уже отмечалось, для межзвездных облаков справедлива зависимость $v_t^* \propto r_*^{-0.5}$. В рассчитанных моделях при постоянном внешнем давлении показатель степени несколько больше (0.6). Но внешнее давление необязательно должно быть постоянным, можно найти такой набор $(nT)_{ext}$, который уменьшит показатель степени.

Зависимость средней плотности от радиуса облака, приведенная на рис. 5, показывает также, что в расчетах величина внешнего давления должна быть не менее $10^4 \text{ K}\cdot\text{см}^{-3}$. Модели с $(nT)_{ext} \approx 10^5 \text{ K}\cdot\text{см}^{-3}$ хорошо коррелируют с наблюдениями, но у основной части облаков средние плотности несколько выше теоретических.

Резюмируем результаты работы. Предложен простой метод построения моделей темных облаков и глобул. Исходные параметры для расчетов — масса облака, внешнее давление, показатель степени в зависимости скорости турбулентности от радиуса облака. Наблюдаемые характеристики глобул позволяют определить диапазон изменения этих

параметров. Выполненные в работе сравнения теоретических и наблюдаемых характеристик показали, что величина внешнего давления $(nT)_{ext}$ в моделях глобул должна лежать в пределах примерно 10^4 — 10^5 К·см⁻³. Более массивные облака должны находиться под большим внешним давлением. Возможно, это свидетельствует о том, что у массивных облаков — более мощные оболочки.

Предложенная модель может быть эффективно использована для исследования облаков с массами, незначительно превышающими

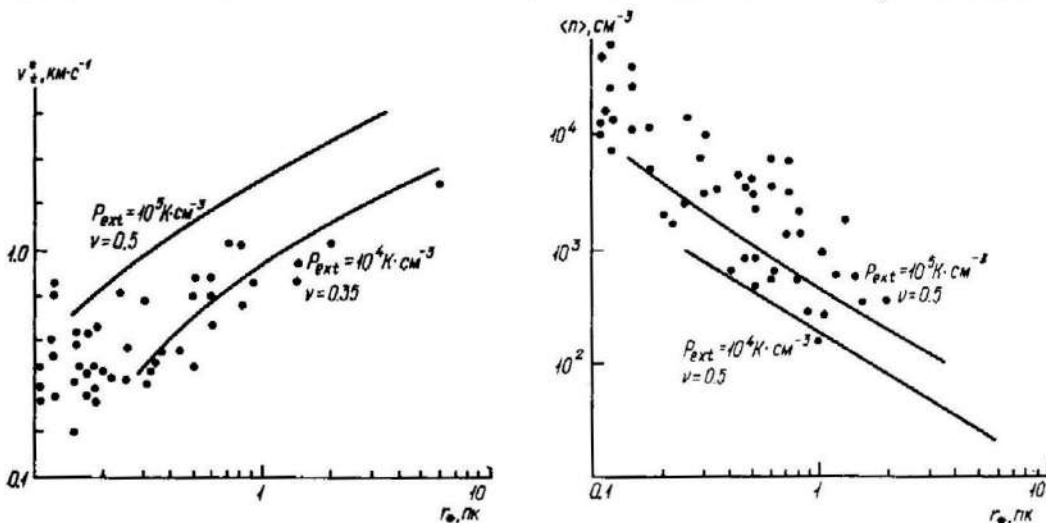


Рис. 4. Зависимость скорости турбулентности v_t^* от радиуса облаков. Обозначения те же, что и на рис. 2

Рис. 5. Зависимость плотности облаков от их радиусов

$100 M_\odot$, и размерами не более 2—3 пк. Возможно, это связано с тем, что в массивных облаках зависимость скорости турбулентности от радиуса более сложная, чем принято в данной работе. С наблюдениями лучше согласуются модели, в которых показатель степени ν в выражении $v_t \propto r^\nu$ близок к 0.5.

Результаты исследований внутренней структуры конкретных молекулярных облаков будут рассмотрены в следующей работе.

1. Колесник И. Г. Модели турбулентных межзвездных облаков // Кинематика и физика небес. тел.—1986.—2, № 5.—С. 3—13.
2. Чандraseкар С. Введение в учение о внутреннем строении звезд.—М.: Изд-во иностр. лит., 1950.—476 с.
3. Arquilla R., Goldsmith P. F. Density distributions in dark clouds // Astrophys. J.—1985.—297, N 2.—P. 436—445.
4. Boland W., de Jong T. Hydrostatic models of molecular clouds. II. Steady-state models of spherical clouds // Astron. and Astrophys.—1984.—134, N 1.—P. 87—98.
5. Kenyon S., Starrfield S. On the structure of Bok globules // Publs Astron. Soc. Pacif.—1979.—91, N 541.—P. 271—275.
6. Larson R. B. Turbulence and star formation in molecular clouds // Mon. Notic. Roy. Astron. Soc.—1981.—194, N 3.—P. 809—826.
7. Leung C. M., Kutner M. L., Mead K. N. On the origin and structure of isolated dark globules // Astrophys. J.—1982.—262, N 2.—P. 583—589.
8. Martin R. N., Barret A. H. Microwave spectral lines in galactic dust globules // Astrophys. J. Suppl. Ser.—1978.—36, N 1.—P. 1—51.
9. Myers P. C. Dense cores in dark clouds. III. Subsonic turbulence // Astrophys. J.—1983.—270, N 1.—P. 105—118.
10. Myers P. C., Linke R. A., Benson P. J. Dense cores in dark clouds. I. CO observations and column densities of high-extinction regions // Ibid.—1983.—264, N 2.—P. 517.
11. Reipurth B., Bouchet P. Star formation in Bok globules and low-mass clouds. II. A collimated flow in the Horsehead // Astron. and Astrophys.—1984.—137, N 1.
12. Snell R. L. A study of nine interstellar dark clouds // Astrophys. J. Suppl. Ser.—1981.—45, N 1.—P. 121—175.
13. Stenholm L. G. The physical structure of the dark cloud B5 // Astron. and Astrophys.—1984.—144, N 1.—P. 179—185.